

Göteborg Energi AB

# Bergteknisk utredning

## Detaljplan för värmeverk vid Råvebergsvägen

Angered 83:2

Uppdragsnr: 108 78 66 Version: 1 Datum: 2023-11-24



**Uppdragsgivare:** Göteborg Energi AB  
**Uppdragsgivarens kontaktperson:** Anna Pärsson  
**Konsult:** Norconsult AB  
**Uppdragsledare:** Cecilia Aarnio  
**Handläggare:** Isabell Dinger

1	2023-11-24		Cecilia Aarnio Isabell Dinger	Christoffer Kall	
Version	Datum	Beskrivning	Upprättat	Granskat	Godkänt

Detta dokument är framtaget av Norconsult AB som del av det uppdrag dokumentet gäller. Upphovsrätten tillhör Norconsult AB. Beställaren har, om inte annat avtalats, endast rätt att använda och kopiera redovisat uppdragsresultat för uppdragets avsedda ändamål.

## Innehåll

<b>1</b>	<b>Objekt</b>	<b>4</b>
<b>2</b>	<b>Syfte</b>	<b>4</b>
<b>3</b>	<b>Underlag</b>	<b>4</b>
<b>4</b>	<b>Utförande</b>	<b>5</b>
<b>5</b>	<b>Områdesbeskrivning</b>	<b>6</b>
<b>6</b>	<b>Bergtekniska förutsättningar</b>	<b>6</b>
6.1	Planområdets berggrund	6
6.2	Sprickförhållanden	7
<b>7</b>	<b>Stabilitetsanalys bergslänter</b>	<b>9</b>
7.1	Brottmekanismer	9
7.2	Utvärdering av släntstabilitet	9
7.3	Stabilitet befintlig bergsslänt	10
7.4	Stabilitet tillkommande bergschakt	11
<b>8</b>	<b>Omgivningspåverkan</b>	<b>11</b>
<b>9</b>	<b>Radon</b>	<b>11</b>
9.1	Gammaspektromettermätning, radon i berggrund	11
9.1.1	<i>Radonrisk inom planområdet</i>	12
<b>10</b>	<b>Rekommendationer vid grundläggning på berg</b>	<b>13</b>
10.1	Bergstabilitet	13
10.2	Radon	13
<b>11</b>	<b>Slutsatser/Rekommendationer</b>	<b>14</b>
<b>12</b>	<b>Referenser</b>	<b>15</b>

### Bilagor:

#### Bilaga 1 Fotobilaga

# 1 Objekt

Norconsult AB har fått i uppdrag av Göteborgs Energi AB att utföra en översiktlig bergteknisk utredning av detaljplanläggning på fastighet Angered 83:2 med avseende på utbyggnation av befintlig panncentralanläggning. Fastigheten är belägen strax nordväster om Angered centrum i korsningen mellan Råvebergsvägen och Hästhagen, se figur 1.



Figur 1 Översiktsfotografi av planområdet för fastighet Angered 83:2.

# 2 Syfte

Syftet med föreliggande PM är att översiktligt utvärdera bergstabiliteten, inklusive risk för blockutfall, innanför och i anslutning till planområdet markerat med röd linje i figur 1. Utredningen beaktar både planområdets befintliga stabilitetsförhållanden och ändrade stabilitetsförhållanden vid utbyggnationens genomförande. Även områdets radonklassning beskrivs i denna PM.

# 3 Underlag

- Underlag erhållet av Göteborgs Energi AB:
  - Ritningar över tre alternativa layouter för utbyggnation i Angered 83:2
  - Statusrapport för mark och miljö vid Angered panncentral. Upprättad 2021-06-30 av DGE Mark och Miljö.
- Styrande dokument:
  - Kravspecifikation - Geoutredningar Geoteknisk, hydrogeologisk, bergteknisk utredning för detaljplan, version 1.4. Upprättad 2023-02-15 av Stadsbyggnadsförvaltningen på Göteborgs Stad.

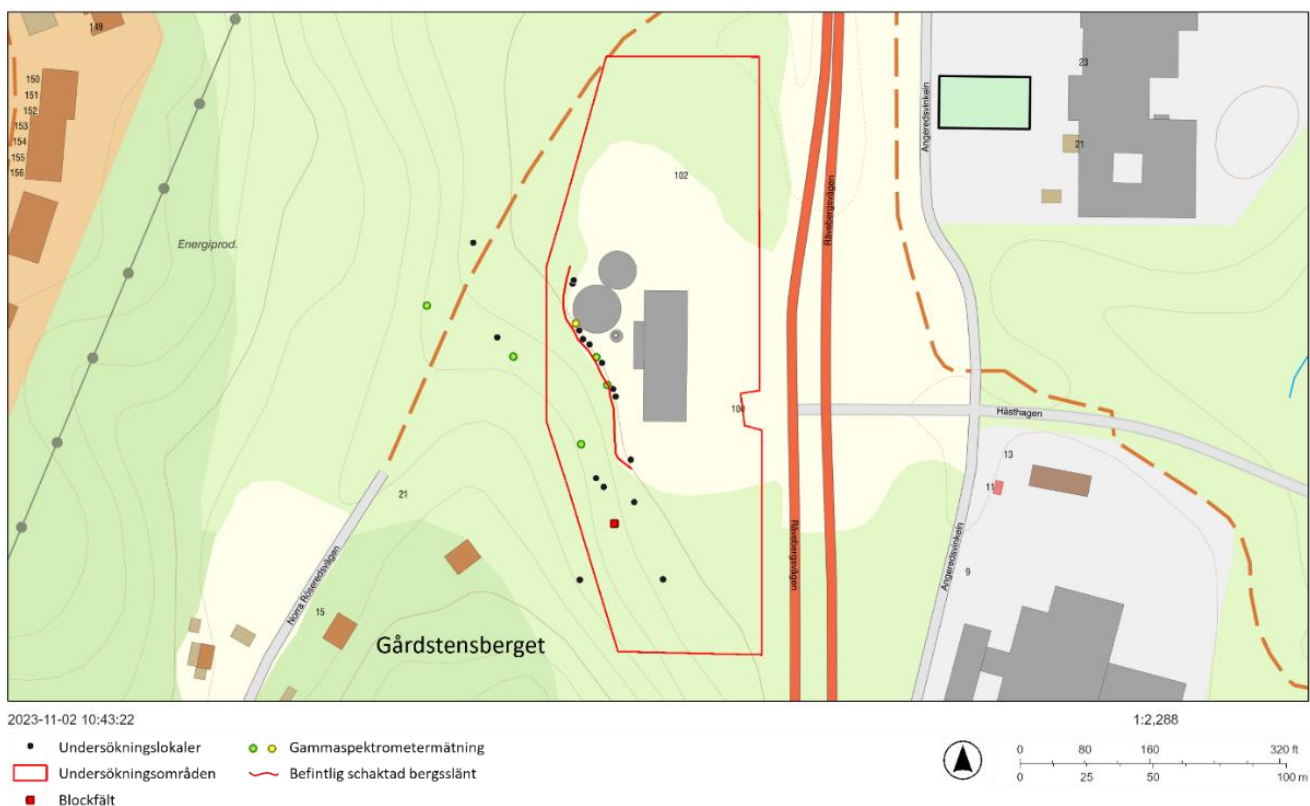
- Övrigt underlag:
  - Berggrundskarta och jorddjupskarta från SGU:s karttjänst (Sveriges geologiska undersökning).
  - Fastighetskarta och bergodalkarta från Lantmäteriets karttjänst.

## 4 Utförande

Fältkartering utfördes den 26 oktober 2023 av Norconsult AB och 16 lokaler undersöktes med avseende på planområdets bergskvalitet, bergarter och spricksystem. I figur 2 är undersökningslokalernas lägen markerade med svarta punkter. Inmätning av sprickor och strukturers orientering utfördes med en kompass enligt högerhandsregeln och redovisas som strykning och stupning (strike och dip). En översiktlig stabilitetsanalys, grundad på uppmätta sprickriktningar, utfördes därefter med avseende på en befintlig bergsslänt i Gårdstensberget som ligger i planområdets sydvästra del, se figur 2, samt med avseende på alternativa layouter för utbyggnation med bergschakt.

Utifrån de alternativa layouterna för utbyggnation gjordes även en översiktlig bedömning av omgivningspåverkan på omkringliggande anläggningar och grundvattenförhållanden samt av förutsättningar för grundläggning av byggnation på berg.

Gammaspektromettermätning utfördes vid 6 lokaler med en GT 32 SUPER-SPEC på fast berg, för mätningarnas positioner, se figur 2 och figur 9. Varje mätning varade i 3 minuter (180 sekunder).



Figur 2 Översiktsskarta med undersökningslokaler markerade.

## 5 Områdesbeskrivning

Planområdet är ca 80 x 225 meter stort och utgörs i den sydvästra delen av en naturlig bergsslänt tillhörande Gårdstensberget som stryker ungefärligt 340° mot nord-nordväst och stupar i terrasser mot ost-nordost, se figur 2. I anslutning till verksamhetsområdet övergår slänten i en schaktad 7:1 bergsslänt som är ca 80 meter lång och har en maxhöjd om ca 5 meter. Enligt lantmäteriets bergodalkarta är höjdskillnaden ca 50 meter från Gårdstensbergets högsta punkt vid 120 meter över havet och det plana verksamhetsområdet nedanför som ligger ca 70 meter över havet.

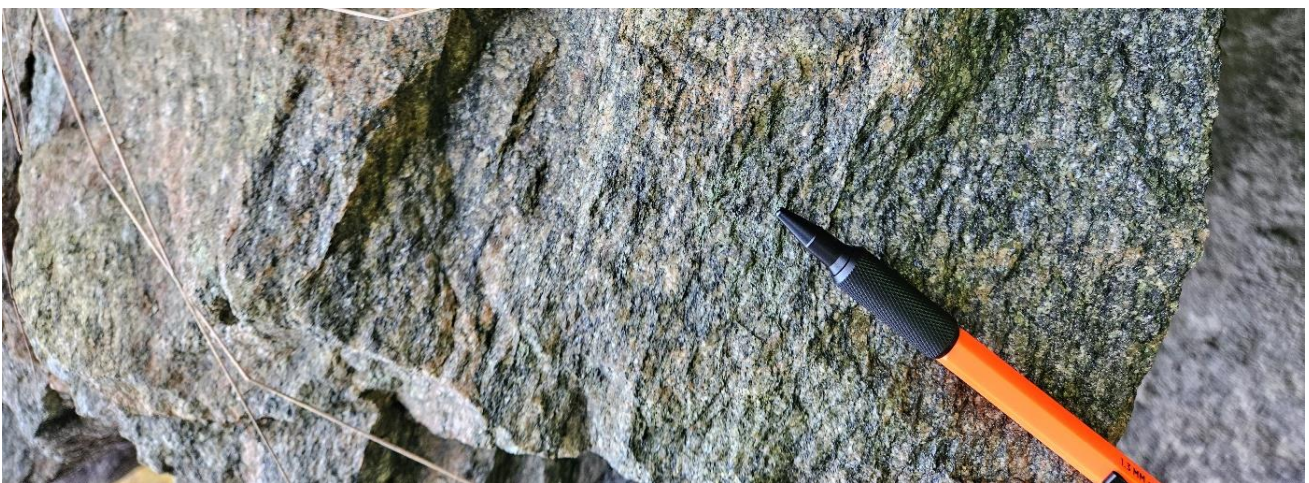
Övriga delar av planområdet består enligt DGE (2021) av fyllnadsmaterial bestående av grusig sand ned till ca 1–2 meter under markytan följt av siltig, sandig torrskorpelera underlagrat av lera. Skattat djup till berggrunden är 10–20 meter, enligt SGU:s jorrdjupskarta. Den södra delen av området är täckt med växtlighet (gräs, träd och sly) medan den centrala och norra delen (verksamhetsområdet) där nuvarande panncentralanläggning står är täckt med asfalt.

Enligt grundvattenprovtagning som utfördes av DGE (2021) är grundvattenytan inom verksamhetsområdet belägen ca 2,6 meter under markytan och grundvattnets strömningsriktning följer troligen planområdets topografi i nordöstlig och östlig riktning. Ett grundvattenmagasin (sand- och grusförekomst) finns lokaliserad ca 900 meter ost-sydost om fastigheten (DGE, 2021).

## 6 Bergtekniska förutsättningar

### 6.1 Planområdets berggrund

Bergarterna inom planområdet var vid fältbesöket något svårbedömda då bergytorna är vittrade och ställvis täckta av lavar och mossor. I den befintliga schaktade slänten kunde färskare bergytor studeras och bergartbestämmas. Berggrunden inom planområdet bedöms domineras av en gråröd metamorf granitoid med ställvis synlig foliation och ställvisa inslag av 10–30 cm breda pegmatitgångar, se figur 3 och figur 4. Enligt SGU består berggrunden av metamorf tonalit-granodiorit med en skiffrighet som stryker parallellt med Gårdstensbergets slänt i nord-nordvästlig riktning. Längs med samma riktning är även ett antiformt veckböj och en plastisk deformationszon markerat på SGU:s berggrundskarta strax sydväster om planområdet. Några täcken på veckning eller plastiska deformationzoner, såsom intensiv skiffrighet eller mylonitbildning, observerades inte vid fältbesöket.



Figur 3 Fotografi av berg med typiskt utseende för planområdet.



Figur 4 Till vänster: fotografi av foliation markerad med vita linjer. Till höger: fotografi av pegmatitgång.

## 6.2 Sprickförhållanden

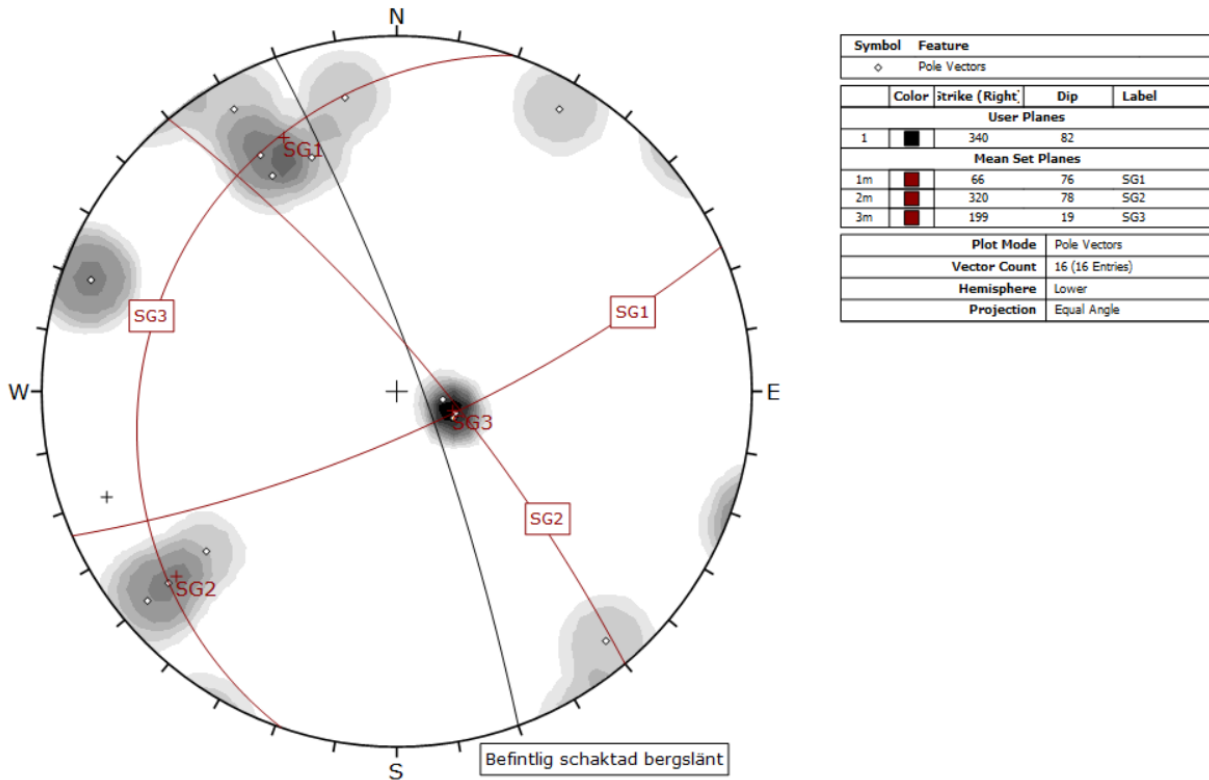
Resultatet från sprickkarteringen har analyserats med hjälp av polpunktsanalys som erhållits med programmet DIPS, version 7.0. Fördelningen av sprickorna och deras orienteringar framgår av stereogrammet i figur 5 och en sammanställning av identifierade sprickgrupper redovisas i tabell 1 nedan.

Tre dominerande sprickgrupper (SG1–SG3) kan urskiljas i stereogrammet. SG1 utgörs av branta sprickplan som stryker 60–80° mot öst-nordöst och skär den befintliga schaktade slänten vinkelrät. SG2 utgörs av branta sprickplan som stryker 320°, nära parallellt med den schaktade slänten mot nord-norväst. SG2 följer orienteringen av de storskaliga strukturerna i området markerade på SGU:s berggrundskarta. SG3 utgörs av flacka foliationsparallella sprickplan som stupar in mot den schaktade slänten och stryker 190–205° mot nord-nordöst. Underordnat förekommer slumpvisa sprickor med avvikande orienteringar. Figur 6 visar identifierade sprickgrupper markerade på ett fotografi av den schaktade slänten.

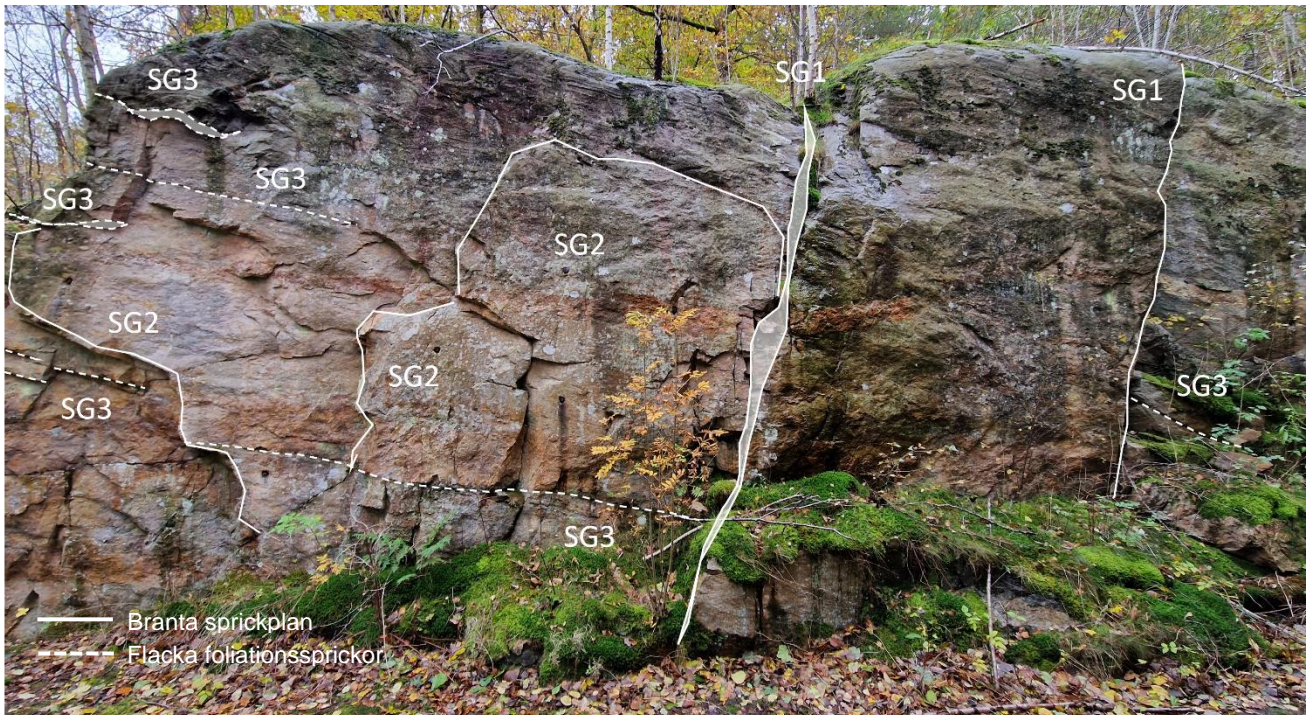
Samtliga sprickor som noterades i fält har råa och plana ytor och ingen förekomst av sprickmineral som kan skapa hala eller glatta glidytor noterades.

Tabell 1 Identifierade sprickgrupper.

Sprickgrupp	Strykning	Stupning	Uthållighet	Avstånd	Vidd	Råhet/planhet
SG1	60–80°	70–80°	3–10 m	0,5–4 m	0,5–2,5 mm	Rå/Plan
SG2	320°	70–85°	10–20 m	0,2 m	0,5–2,5 mm	Rå/Plan
SG3	190–205°	15–20°	10–20 m	0,1–0,6, >2 m	0,1–2,5 mm	Rå/Plan



Figur 5 Karterade sprickor redovisade i stereogram med huvudsprickplan i DIPS.



Figur 6 Fotografi av den befintliga schaktade bergslänten. Identifierade sprickgrupper är markerade med vita linjer.



## 7 Stabilitetsanalys bergslänter

### 7.1 Brottmekanismer

De brottmekanismer som kan förväntas är:

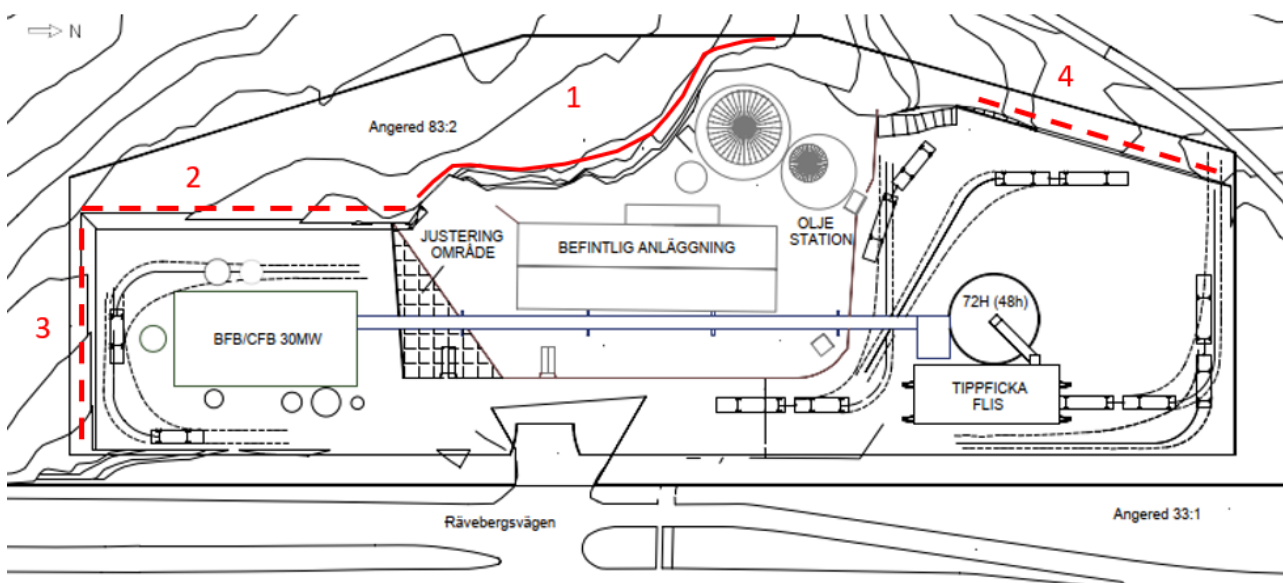
- Planbrott, som innebär att berg glider ur slänten längs sprickplan som är orienterade parallellt slänten och stupar brant ut med slänten, men flackare än släntlutningen.
- Kilbrott, som innebär lösa block avgränsade av sprickytor med ogynnsam orientering i förhållande till slänten. Block kan glida ut från slänten längs något eller båda av sprickplanen.
- Stjälplning av skivor (flexural toppling), som avgränsas av sprickplan som är orienterade parallellt med, men som stupar brant in mot slänten.

### 7.2 Utvärdering av släntstabilitet

För utvärdering av släntstabilitet med avseende på blockutfall har kinematiska analyser utförts i DIPS. Fyra släntriktningar har analyserats. Utifrån alternativa layouter för utbyggnation kan tre dragningar för eventuella bergschakt identifieras. Dessa går i nord-sydlig respektive öst-västlig riktning och är markerade med streckade linjer och nummer 3–4 i figur 7 nedan. Den befintliga schaktade bergslänten är markerad med heldragen linje och nummer 1. I stabilitetsanalyserna har en släntlutning om 7:1 antagits, vilket motsvarar ca 82° lutning in mot verksamhetsområdet.

Analyserna visar att den största risken för blockutfall utgörs av kilbrott och att kilbildande sprickgrupper är huvudsakligen SG1 och SG2, se tabell 2. Analyserna visar även på risk för planbrott i slänt 1 till följd av sprickor i SG2 och risk för stjälplning av skivor i slänt 3 till följd av SG1.

Eftersom stabilitetsanalysen visar på  $\leq 25\%$  sannolikhet för att berget går i brott längs med uppmätta sprickriktningar, bedöms sprickförhållandena vara gynnsamma för de fyra släntriktningarna.



Figur 7 Modifierad ritning av layoutalternativ 1 för utbyggnation, erhållen av Göteborgs Energi AB. Befintlig schaktad bergslänt är markerad med heldragen linje och nummer 1. Dragningen för eventuella tillkommande bergschakt är markerad med streckade linjer och nummer 2–4.

Tabell 2 Sammanställning av kinematiska analyser med avseende på risken för blockutfall. Siffrorna visar andel av de totala antalet skärningslinjer som ligger i riskområde för respektive brotttyp. Blockbildande sprickgrupper är angivna inom parentes.

Risk för olika typer av brott	Befintlig slänt 1 340°/82°	Layout slänt 2 0°/82°	Layout slänt 3 270°/82°	Layout slänt 4 20°/82°
Risk för planbrott	13% (SG2)	0%	0%	0%
Risk för kilbrott	25% (SG1 + SG2)	25% (SG1 + SG2)	5% (SG2 + slumpvis)	21% (SG1 + SG2)
Risk för stjälpning	0%	0%	13% (SG1)	0%

### 7.3 Stabilitet befintlig bergsslänt

Som framgår i kapitel 7.2 ovan, är sprickförhållandena gynnsamma i den befintliga schaktade slänten men en viss risk för kil- och planbrott förekommer. Slänten är förstärkt med Gunnebo-bergnät och ett tjugotal 25 mm perforerade bergbultar i den norra delen samt armerad sprutbetong i den södra delen. Trots tecken på åldrande i form av korrosion av bergbultarna och krackelering i sprutbetongen bedöms slänten adekvat förstärkt och stabil i dagsläget. Bergkvaliteteten bedöms som god med ett uppskattat GSI-värde (Geological Strength Index enligt Hoek & Karzulovic, 2001) om 65 vilket innebär sparsamt skiffigt berg med bra till acceptabel sprick-kvalitet.

Enstaka skada, som inte kräver åtgärd inom snar framtid men som rekommenderas att åtgärdas i samband med generellt underhåll, noterades och är markerade i figur 8. I den norra delen noterades ett fåtal partier med mindre blockutfall (<0,25 m<sup>3</sup>) och i den södra delen noterades att sprutbetongen hade släppt på enstaka ställe, se skada 2–4. Växtlighet förekommer i hela slänten, även bakom bergnätet, och kan komma att påverka bergkvaliteten i framtiden, se skada 1 och 5.



Figur 8 Översiktsskarta med noterade skador markerade.

Ovanför den schaktade slänten, i sydvästra delen av planområdet, noterades ett blockfält som bedöms som stabilt i dagsläget, men vid byggnation i direkt närhet kan rensning behöva utföras, se skada 6 i figur 8. Inga ytterligare riskblock noterades i planområdet.

Fotografier av befintlig förstärkning och noterade skador redovisas i bilaga 1.

#### 7.4 Stabilitet tillkommande bergschakt

Vid detaljprojektering av bergsschakter bör stabiliteten i första hand säkerställas genom att skapa naturligt stabila slänter i samråd med bergsakkunnig. I vissa fall kan det dock vara nödvändigt att säkra slänternas stabilitet genom att förankra enstaka block genom selektiv bultning. Läge, riktning och typ av bult bestäms av bergsakkunnig. Som framgår i stabilitetsanalysen i kapitel 7.2 är sprickförhållandena gynnsamma för bergschakt i nord-sydlig och öst-västlig riktning, men en viss risk för kilbrott och stjälpning av skivor kan förekomma.

Vid framtida bergschakt bör det planeras för extra utrymme inom planområdet i händelsen att slänten behövs ställas flackare för att minska risken för blocknedfall samt minska risken att bergrensning gör intrång på grannfastigheten. Minst 5 meter avstånd till plangräns bör därför lämnas för att säkerställa att man håller fastighetsgränser vid förstärkningsarbeten samt schaktning.

## 8 Omgivningspåverkan

I området förekommer berganläggningar under mark som behöver beaktas vid detaljprojektering. Ifall vibrationsalstrande arbeten utförs i nära anslutning till berganläggningarna kan försvarsarbeten, i form av skonsam schaktning och upprättande av kontrollprogram med bergteknisk besiktning före och efter vibrationsalstrande arbeten, komma att bli aktuella för att säkerställa att berganläggningarna inte påverkas negativt. Exempel på skonsam schaktning är lågintensiv sprängning, sågning eller hydraulisk spräckning.

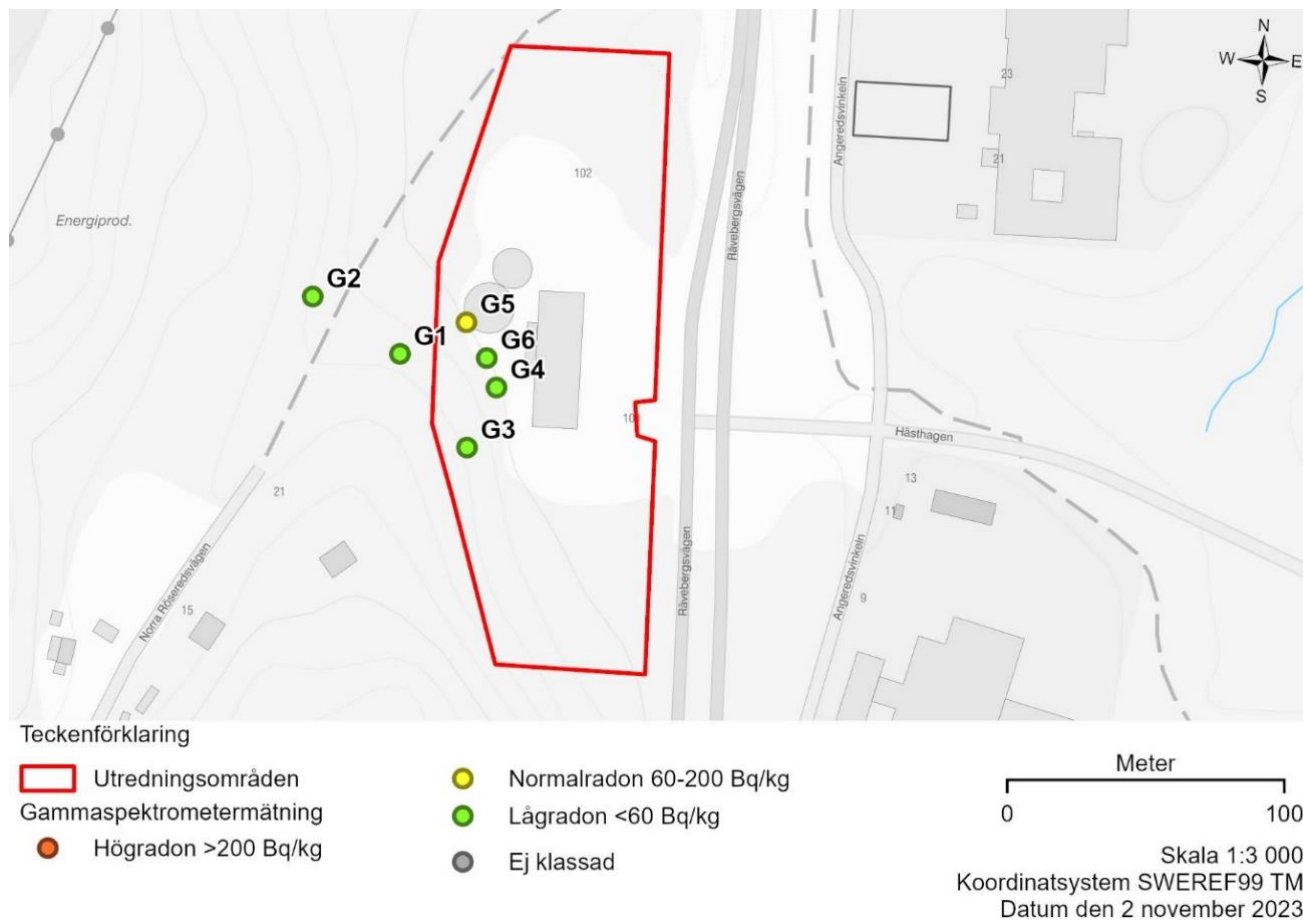
Vid detaljprojektering bör risk för permanenta och/eller tillfälliga grundvattensänkningar beaktas vid schaktning djupare än grundvattenytan som ligger 2,6 meter under verksamhetsområdets nuvarande marknivå. Även risk för vattenförorening av vattendrag och grundvattenmagasin behöver beaktas.

## 9 Radon

### 9.1 Gammaspktrometermätning, radon i berggrund

Gammaspktrometermätning utfördes vid 6 lokaler med en GT 32 SUPER-SPEC på fast berg, för mätningarnas ungefärliga position, se figur 9. Varje mätning varade i 3 min, 180 s. Mätningen inkluderar dosrat<sup>1</sup>, kalium, uran och torium. Dessa används för att beräkna aktivitetsindex samt radiumhalt. Radiumhalt används som en uppskattning av radonavgång genom sönderfall av Radium<sup>226</sup> till Radon<sup>222</sup>. Aktivitetsindex (AI) är ett viktat mått utifrån koncentrationen av nukleider och används för att beräkna stråldos över tid och därmed lämplighet av material vid byggnation. Resultatet för gammaspktrometermätningen presenteras i tabell 3, detta jämförs med respektive gränsvärden för låg-, normal- och högradon i tabell 4.

<sup>1</sup> Dosrat/doshastighet mäter stråldos per tidsenhet exempelvis  $\mu\text{Sv/h}$ . Dosrat ger ett mått på strålningens intensitet.



Figur 9 Mätpunkternas lokalisering i och utanför planområdet markerade med gröna och gula cirklar beroende på radiumaktiviteten (Bq/kg).

### 9.1.1 Radonrisk inom planområdet

Resultatet visar att den beräknade radiumhalten ej överstiger 60 Bq/kg, gränsvärde för normalradon, i 5 av 6 mätpunkter, se tabell 3.

Tabell 3 Resultatet från gammstrålningsmätningen och beräknad radiumaktivitet och aktivitetsindex.

Mät.nr.	Material	K [%]	eU [ppm]	eTh [ppm]	Gammastrålning ( $\mu$ Sv/h)	Radium- aktivitet (Bq/kg)	Aktivitetsindex (AI)
1	Rödgrå granit	3,2	3,5	11,9	0,1	43,2	0,7
2	Rödgrå granit	3,3	4	12,5	0,1	49,4	0,8
3	Rödgrå granit	3,3	3,3	9,3	0,1	40,8	0,7
4	Rödgrå granit	3,6	3,4	17,3	0,1	42,0	0,9
5	Pegmatit	7,3	12,8	24,3	0,2	158	1,8
6	Rödgrå granit	4,2	3,7	10,3	0,1	45,7	0,8

Då 5 av 6 mätpunkter uppvisar radiumhalter som inte överstiger 60 Bq/kg kan berggrunden inom området i sin helhet bedömas som lågriskområde avseende radon (<60 Bq/kg) enligt Bygghälsorådet (Pettersson & Rosén, 1990). För ytterligare kännedom om områdets eventuella uppfyllande av andra potentiellt relevanta gränsvärden, se tabell 5.

Tabell 4 Rekommenderade gränsvärden för låg, normal- och högradonhalter i berggrund, för byggnation av bostäder enligt Box (2019) och Bygghälsorådet (Pettersson & Rosén, 1990).

Marktyp	Lågradon [Bq/kg]	Normalradon [Bq/kg]	Högradon [Bq/kg]
Berggrund	<60	60–200	>200

Tabell 5 Uppfyllande av krav och rekommendation gällande radon- och strålningshalt i berggrund samt för byggnation av bostäder enligt Boverket, Flaggboken (Strålskyddsmyndigheterna i Danmark, Finland, Island, Norge och Sverige, 2000) och RP112 enligt Jelinek & Eliasson (2015).

Boverket <sup>(1)</sup>	Nordiska rekommendationer, Flaggboken <sup>(2)</sup>	EU- rekommendationer, RP112 <sup>(3)</sup>
Samtliga mätpunkter uppfyller kravet.	Samtliga mätpunkter uppfyller kraven.	Punkt 5 uppfyller ej.

<sup>(1)</sup> Dosrat <0.3 µSv/h

<sup>(2)</sup> Aktivitetsindex <2.0 samt radiumhalt <200 Bq/kg

<sup>(3)</sup> Aktivitetsindex <1

## 10 Rekommendationer vid grundläggning på berg

### 10.1 Bergstabilitet

Generellt bedöms sprickriktningar och sprickornas egenskaper (råa och inga sprickmineral som medför hala eller glatta glidytor) skapa goda förutsättningar för grundläggning av byggnad på berg. Förutsättningarna för grundläggning av byggnad på berg kan påverkas av bland annat tänkta laster och närhet till slänt. Vid detaljprojektering ska därför bedömning av bergsakkunnig göras.

### 10.2 Radon

Då berggrunden inom planområdet klassats som lågradon rekommenderas följande:

- Uppförandet av planerade byggnader rekommenderas utföras radonskyddande enligt *Radonboken - nya byggnader* (2019). Radonskyddande grundkonstruktion innebär till exempel att grundläggning görs på betongplatta där rörgångar och håltagning tätas från genomströmning av markluft, som i stort sett alltid är fallet vid modern bostadsbyggnation.
- Lokalt losshållna block och krossmaterial från området kan antas ha samma strålningsegenskaper som omgivande berggrund och kan användas vid grundläggning.
- Eventuellt tillfört material som till exempel fyllnadsmassor bör ha låga strålningsegenskaper för att inte bidra till en ökad radonrisk. För utifrån tillfört grundläggningsmaterial bör aktivitetsindex och radiumhalt deklarerars av leverantör, alternativt fastställas på plats baserat på mätning med gammaspakrometer.

## 11 Slutsatser/Rekommendationer

Bergkvaliteten i planområdet bedöms som god och gynnsamma sprickförhållanden bedöms råda i områdets befintliga slänt samt för tillkommande bergschakt i nord-sydlig och öst-västlig riktning. Dock kan viss risk för framför allt kilbildning förekomma och detaljprojektering av bergschakter bör göras i samråd med bergsakkunnig.

Enstaka skada, som inte kräver åtgärd inom snar framtid men som rekommenderas att åtgärdas i samband med generellt underhåll, noterades i den befintliga schaktade slänten. Skadorna avser mindre blockutfall, krackelering och släpp i sprutbetongförstärkta delar samt växtlighet både generellt i slänten och bakom bergnät. Ovanför den schaktade slänten, i sydvästra delen av planområdet, noterades ett blockfält som bedöms som stabilt i dagsläget men som vid byggnation i direkt närhet kan behöva rensas på lösa block.

Förutsättningarna för grundläggning på berg bedöms som goda och uppförandet av byggnation rekommenderas, utifrån utförd gammalspektromettermätning, att utföras radonskyddat.

I området förekommer berganläggningar under mark som behöver beaktas vid vibrationsalstrande arbeten.

Risk för permanenta och/eller tillfälliga grundvattensänkningar bör beaktas vid schaktning djupare än grundvattenytan. Även risk för förorening av vattendrag och grundvattenmagasin behöver beaktas.

## 12 Referenser

Jelinek, C. & Eliasson, T., 2015: Strålning från bergmaterial. Sveriges Geologiska Undersökning SGU.

Pettersson, B. & och Rosén, B., 1990: Markradon. Handbok för undersökning och redovisning av markradonförhållanden. Byggeforskningsrådet rapport R85:1988 - reviderad utgåva 1990

Box, C., 2019: Radonboken – Nya byggnader, Svensk Byggtjänst, Bjerking, sida 107–108.

Hoek, E. & Karzulovic, A., 2001: Rock Mass Properties for Surface Mines. Slope Stability in Surface Mining (eds. W. A. Hustrulid, M. K. McCarter, D.J.A Van Zyl) Kapitle 6, sida 59-69. Litteton: Society for Mining, Metallurgy, and Exploration, Inc. (SME).

Strålskyddsmyndigheterna i Danmark, Finland, Island, Norge & Sverige, 2000: Naturally occurring radioactivity in the Nordic countries – recommendations. The radiation protection authorities in Denmark, Finland, Iceland, Norway and Sweden.

## Bilaga 1 Fotobilaga



*Figur 1 Fotografi av 25 mm perforerade bergbultar i den befintliga slänten. Nere till vänster är en exempelbild på korrosion av bergbultarna.*





*Figur 2 Fotografi av Gunnebo-bergnät i norra delen av den befintliga slänten. Vegetation bakom nätet kan komma att påverka bergskvilltet och nätet funktion i framtiden. Se skada 1 i figur 8.*



*Figur 3 Fotografier av blockutfall i den befintliga släntens norra del. Utfallet till vänster är kilformat. Se skada 2 och 3 i figur 8.*



*Figur 10 Fotografier av krackelering och släpp i den armerade sprutbetongen i södra delen av den befintliga slänten. Se skada 4 i figur 8.*



*Figur 5 Fotografi av vegetation som har fått fäste i sprickor i den befintliga slänten och som kan komma att påverka bergskvaliteten i framtiden. Se skada 6 i figur 8.*



Figur 6 Fotografi av blockfält ovanför den schaktade slänten, i sydvästra delen av planområdet. Se skada 6 i figur 8.